# ポータブル形中性子水分計および / 線密度計

Characteristics of Portable Moisture Gage and Density Gage by Nuclear Method

安藤 弘\*
Hiroshi Andô

# 内 容 梗 概

土木用に適するポータブル方式のそう入形ならびに表面形の中性子水分計および γ 線密度計の 4 種類を製品化した。試料は実際の使用状態に近いものとして砂を選び、乾燥法による含水率と計数率との関係および数種類の密度の異なる石および試料により密度計の校正曲線を求めた。その結果土木工事の施工管理用としても使用できる見通しを得た。そのほか、測定プローブの温度特性、密度計における試料とプローブの間げきと計数率の関係、試料の有効体積など実用に当たって必要な特性についても検討した。

# 1. 緒 言

土木工事の施工管理では、土の含水量および密度の測定はきわめて重要で、従来は炉乾燥法、砂置換法などで測定が行なわれていた。しかし、これらは測定に長時間を要するので、近年、迅速測定が可能な放射線法が注目されるようになり、外国ではすでに実用に供されているところも多い。わが国でも2~3年前から数個所で実用試験が試みられ、土木工事の利用の気運が高まってきた。日立製作所でもこの種の用途に適する蓄電池内蔵のポータブル形計器を製品化したので、その方式、構成、および諸特性について述べる。

# 2. 土木用中性子水分計およびγ線密度計の概要

土木用に使用されるものは第1図に示すようにそう入形水分プローブ、表面形水分プローブ、そう入形密度プローブ、表面形密度プローブがよびスケーラからなり、4種類のプローブの全部またはいずれかとスケーラの組み合わせで使用される。水分プローブでは速中性子源、熱中性子検出器および前置増幅器を内蔵している。また密度プローブでは $\gamma$ 線源、 $\gamma$ 線検出器および前置増幅器を内蔵している。

測定方式はそう入形と表面形に分けられ、そう入形では測定個所にアクセスチューブを打ち込んで、プローブをそう入する。表面形は測定個所の表面に置くだけで測定できる。これらの使用状況を第2図に示す。測定範囲はいずれも線源を中心に100~300mmの範囲の平均で、線源から遠くなるほど測定値に対する寄与は少なくなる。

# 3. 水分プローブの構成とその特性

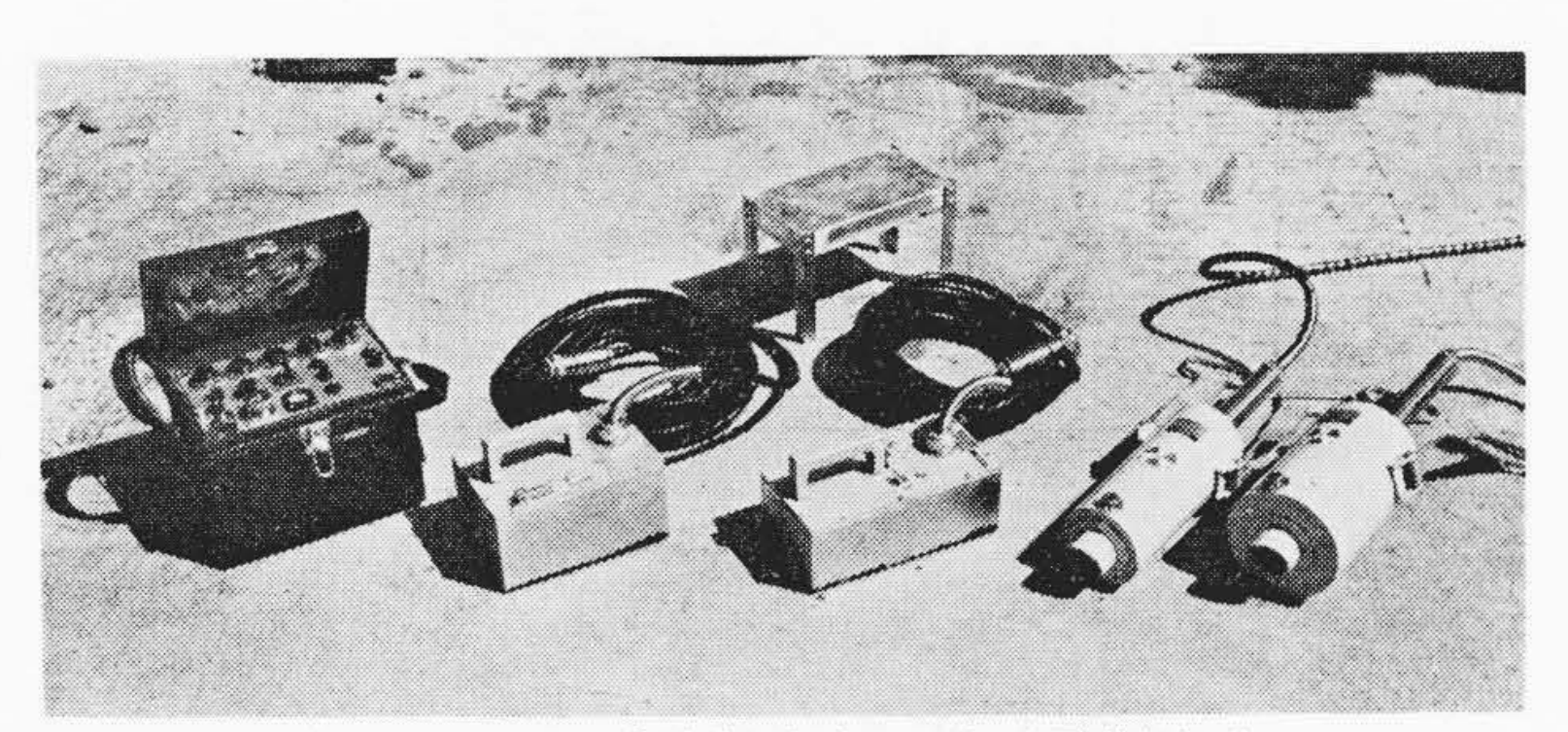
### 3.1 中性子利用による水分測定の原理

速中性子が物質中を通過する場合,物質を構成する原子核との衝突により次第に減速される。この減速の様子は関与する物質によって異なる。第1表 $^{(1)}$ にはおもに土壌に含まれる元素を選んで中性子に対する断面積の値を示す。散乱断面積は水素の値が他の元素に比べて1けた大きく,また熱中性子になるまでの平均衝突回数Cは1けた小さい。

いま速中性子線源を試料中に置くと、線源のまわりには水素で減速された熱中性子ができる。このときの熱中性子の密度は試料中の水素原子の密度に比例するので熱中性子だけに感じる検出器を速中性子線源と一体にして試料中にそう入すれば、検出器からのパルス計数率は試料中の水素密度に比例する。したがって検出器からのパルスと数えることにより水分測定ができる。

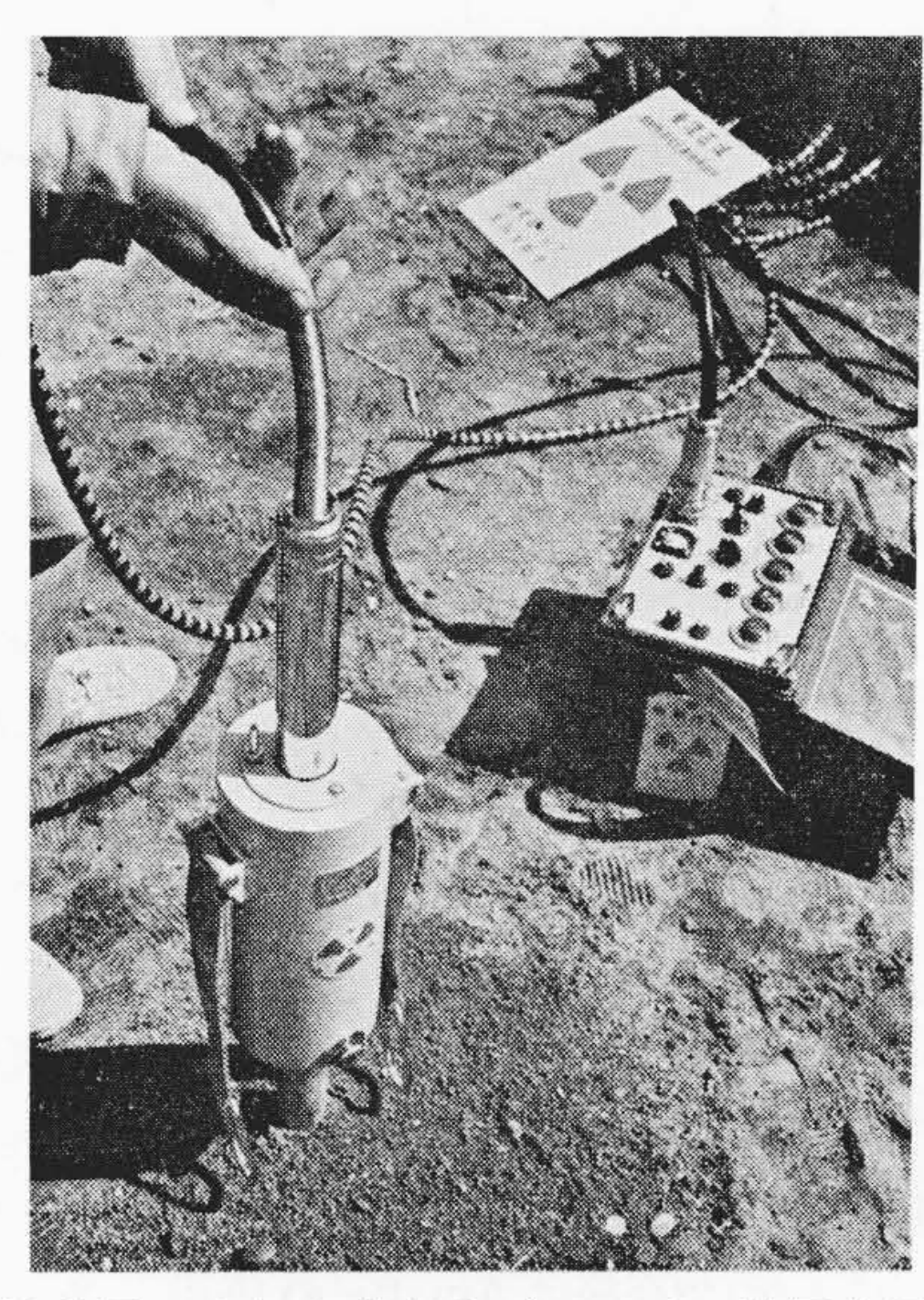
#### 3.2 PB-1 形および PB-2 形水分プローブ

第3図はそう入形および表面形水分プローブの構造を示す。そう



(左よりスケーラ,表面形水分プローブ,表面形密度プ)ローブ,そう入形密度プローブ,そう入形水分プローブ

第1図 スケーラと水分プローブおよび密度プローブ



第2図 そう入形水分プローブの使用状況

第1表 熱中性子の断面積

元		素	$^{1}H$	12C	16O	<sup>27</sup> A1	<sup>28</sup> Si	<sup>40</sup> Ca	<sup>56</sup> Fe
原	子	量	1 -	12	16	27	28	40	56
散乱断面積(バーン)			38	4.8	4.2	1.4	1.7	9	11
吸収断面積(バーン)			0.33	0.0032	< 0.0002	0.23	0.13	0.43	2.52
C			18.2	114	152	252	261	324	479

C: 2 MeV から熱中性子になるまで減速するに必要な平均衝突回数

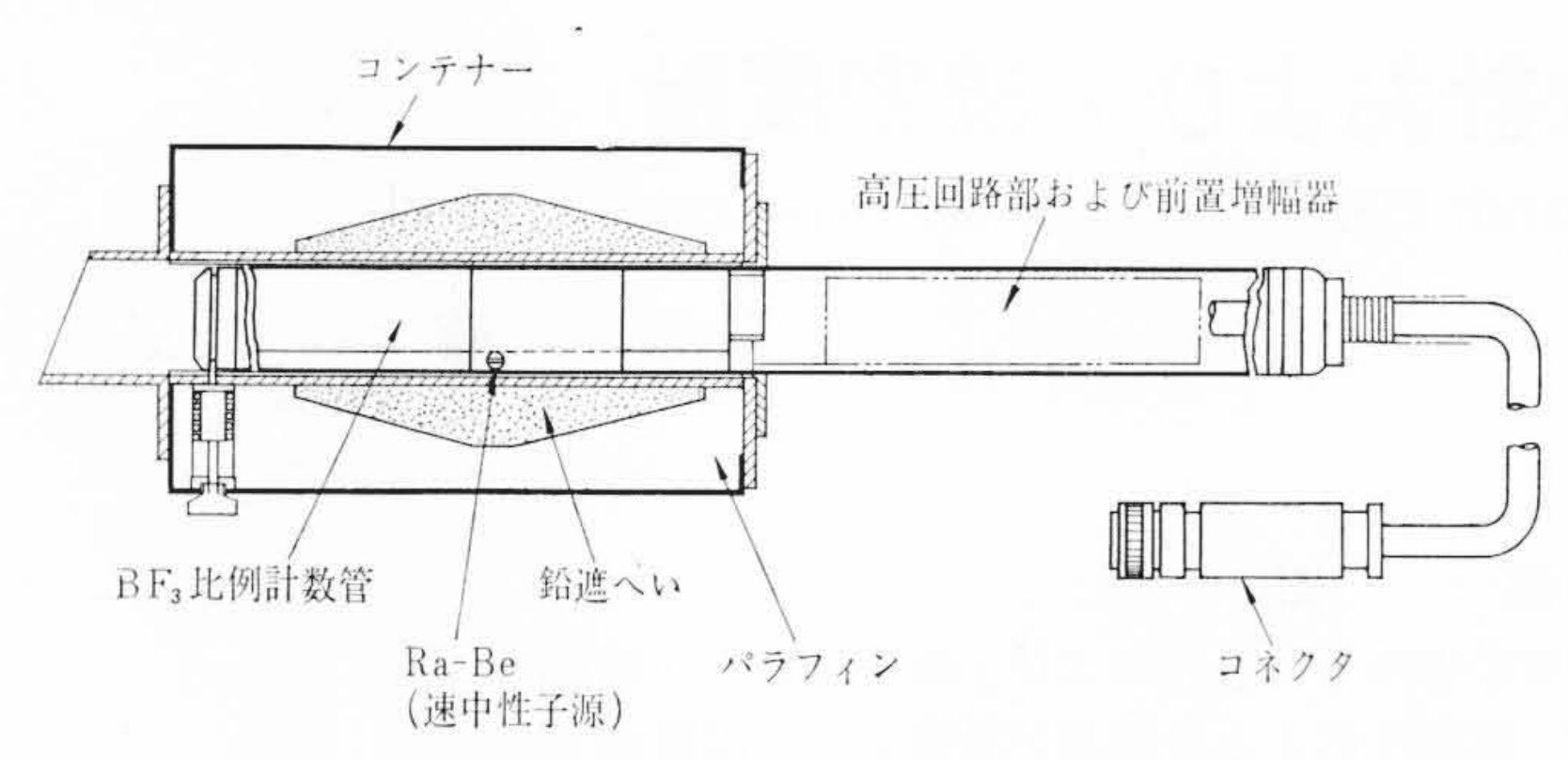
入形の場合,線源の回りはすべて試料におおわれているので速中性 子は有効に減速されるが,表面形の場合,上半分は空間のため減速 された中性子が上部に出ると再び検出器にもどることができない。

このような熱中性子の損失を防ぐために反射材として鉄板が使用 されている。また表面形の場合はその幾何学的条件より必然的に計 数率が低下するので計数管を2本使用して補っている。

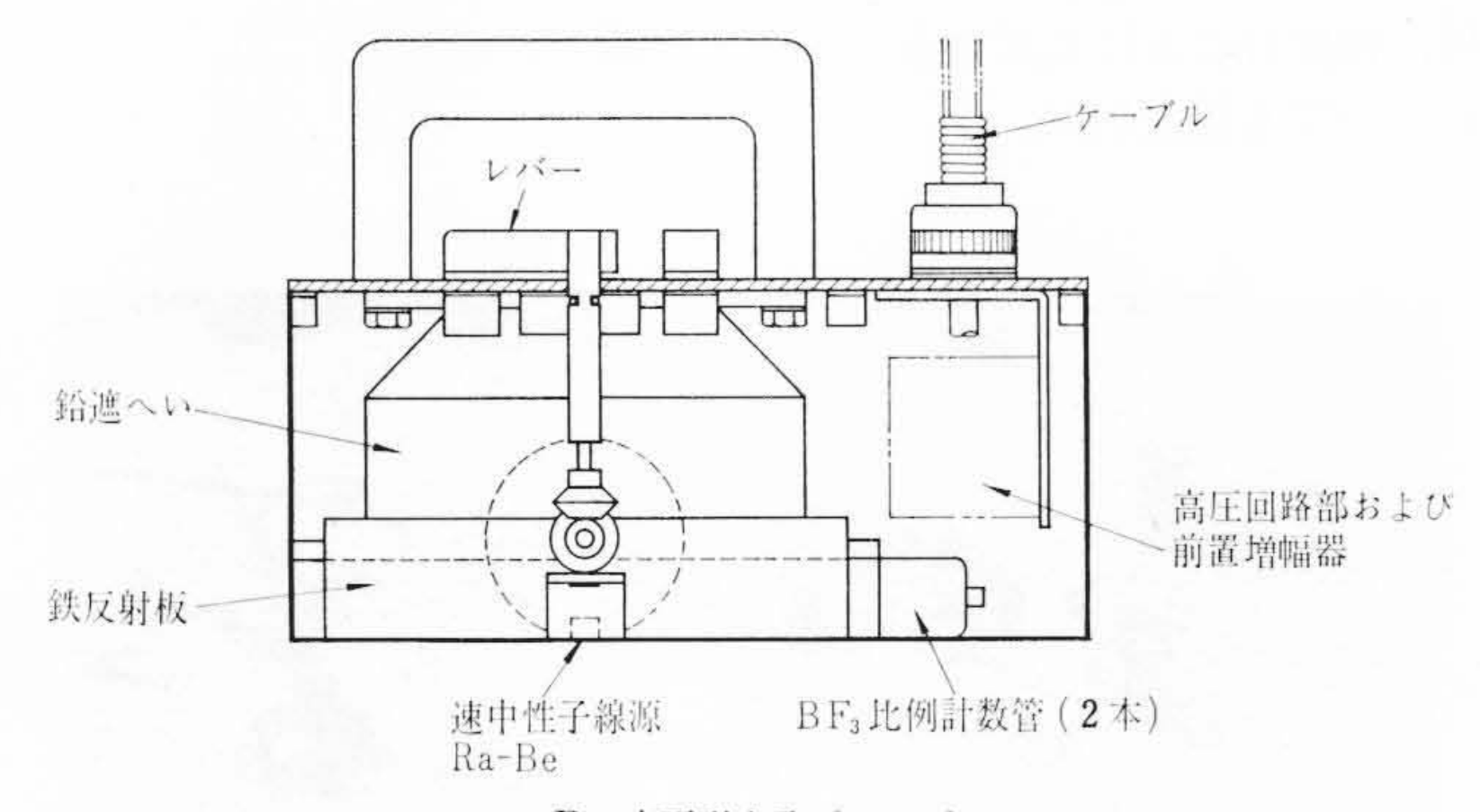
速中性子源には Ra-Be または Am-Be が用いられる。 Ra-Be は

<sup>\*</sup> 日立製作所那珂工場

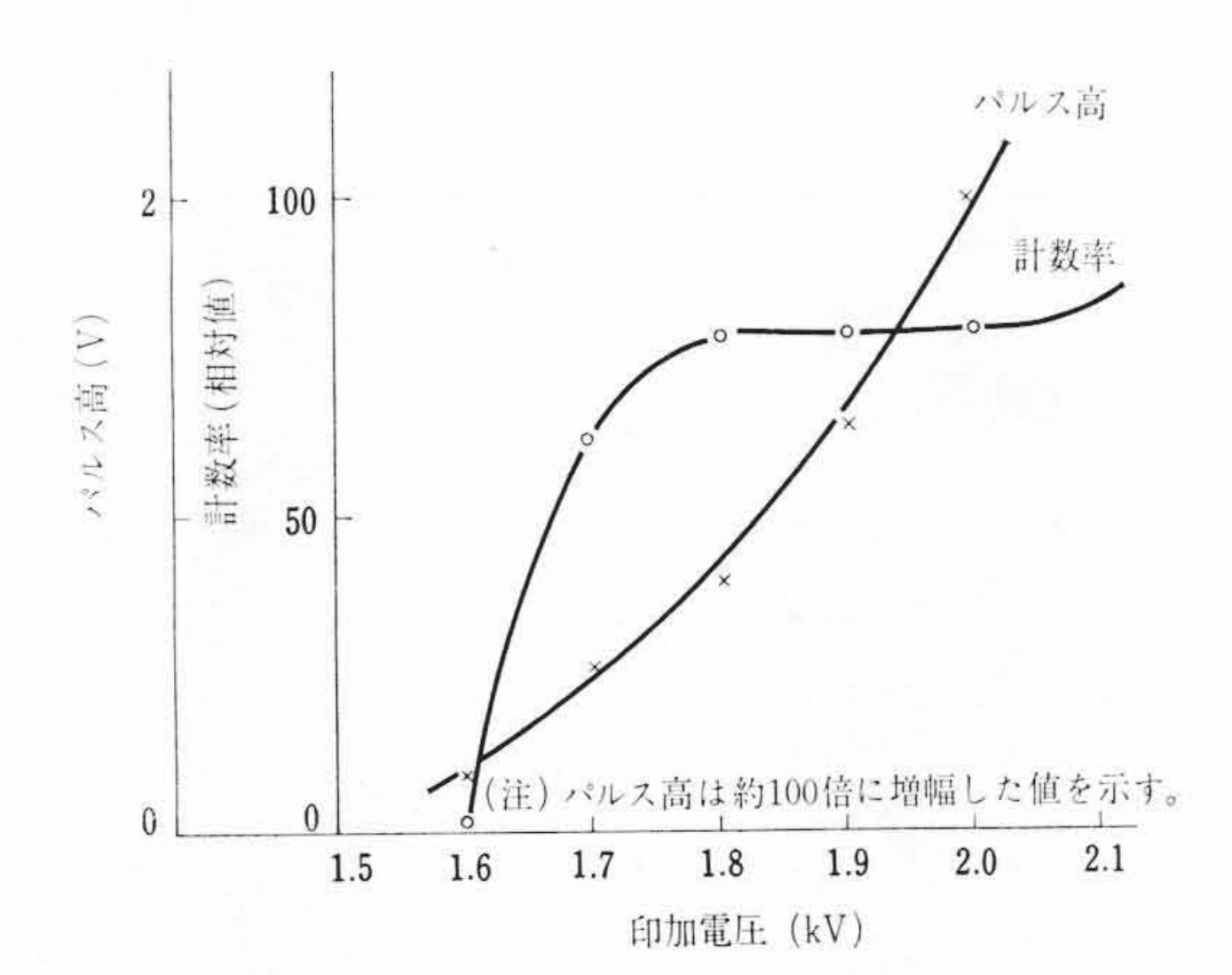
日



A そう入形水分プローブ



B 表面形水分プローブ 第3図 水分プローブ構造図



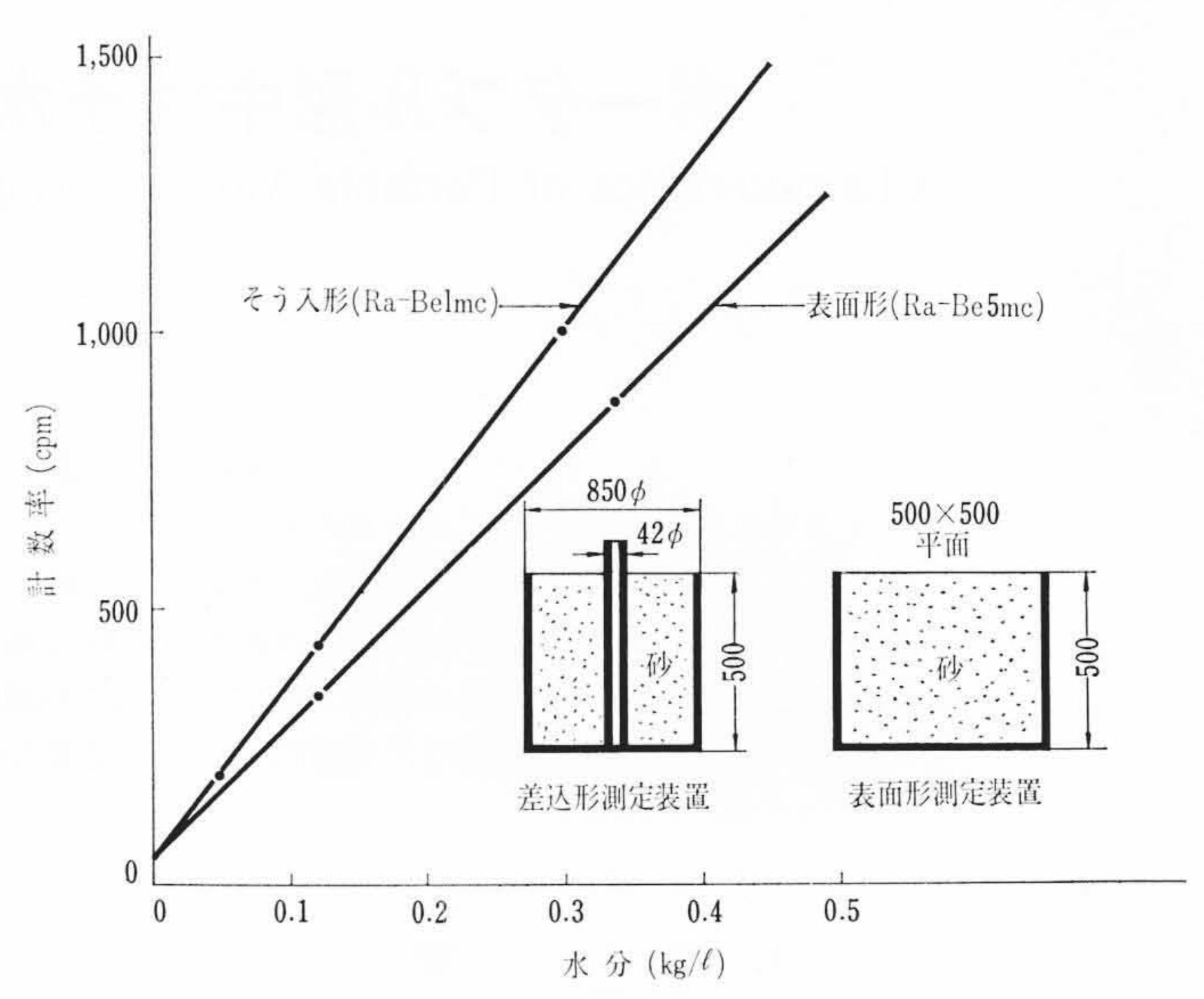
第4図 BF<sub>3</sub>比例計数管のプラトー特性およびパルス高

寸法の小さいものが入手できるのでプローブの設計が容易であるが多量の $\gamma$ 線を放射するので、取り扱い上注意を要する。一方 AmBe は現在入手できるものは Ra-Be に比べて寸法は大きいが $\gamma$ 線の放射が非常に少ないので今後は Am-Be の使用が多くなるであろう。熱中性子の検出器には、BF<sub>3</sub>比例計数管、シンチレーション計数管があるが、機械的強度、大きさ、プラトー特性の点から、BF<sub>3</sub>比例計数管がすぐれているので日立製 EB-125 形 BF<sub>3</sub>比例計数管を使用している。そのプラトー特性の一例を第4図に示す。

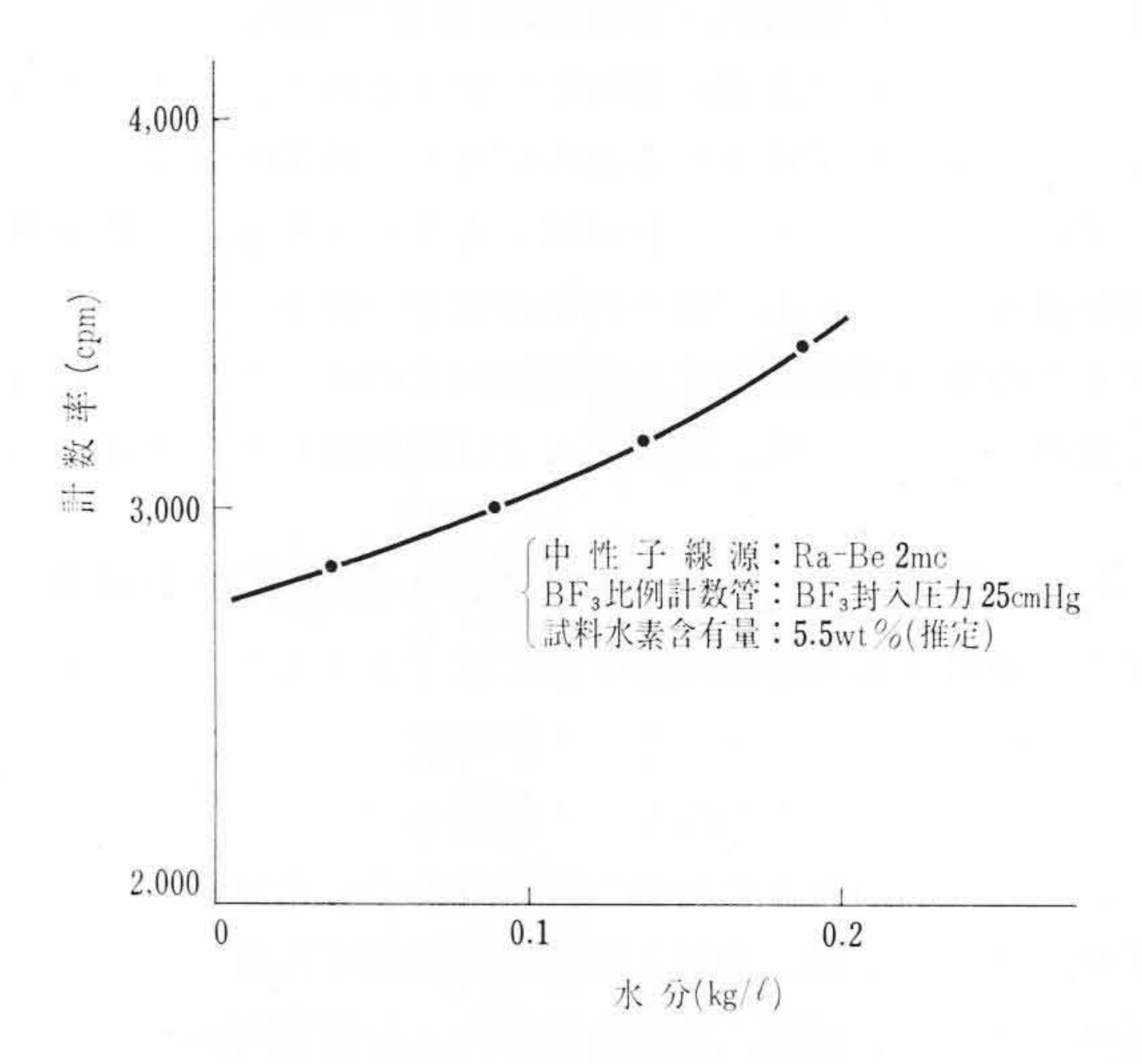
# 3.3 中性子水分計としての特性

# 3.3.1 校 正 曲 線

水分測定に当たっては、プローブの出力パルスは後述のスケーラで計数するので、計数値から水分を求めるために校正曲線が必要である。校正曲線は測定時の幾何学的条件、試料の組成などで変わるため、それぞれの使用目的にかなったものを用意しなければならない。第5図は砂の場合の校正曲線の例である。第6図は試料中に水以外の水素を含む例として試料に石炭を選び、水分と計数率の関係を求めたものである。中性子水分計は本質的には、単位体積中の水素量を測定するものであるから、砂の場合水分0付近で、ほぼ自然計数に近い計数率であるのに対して、石炭の場



第5図 中性子水分計校正曲線の例



第6図 そう入形中性子水分計による石炭の水分校正曲線

合には、水分 0 付近ですでに 2,700 cpm 近くの計数率がある。したがって水分以外の水素量が変動するときは誤差となるので注意を要する。

#### 3.3.2 試料有効体積

速中性子源周辺の試料が測定にどれだけ影響するかは試料中の水分によって変化し、水分が増すに従って中性子の平均自由行程が短くなるため、試料有効体積は小さくなる。その一例を第7図に示す。

# 3.3.3 水分測定における試料かさ密度の影響

試料のかさ密度が変化すると単位体積当たりの水素量が変わる ので同一の水分に対しても水分計の指示は変化する。

$$W = \frac{\omega}{\rho} \dots (1)$$

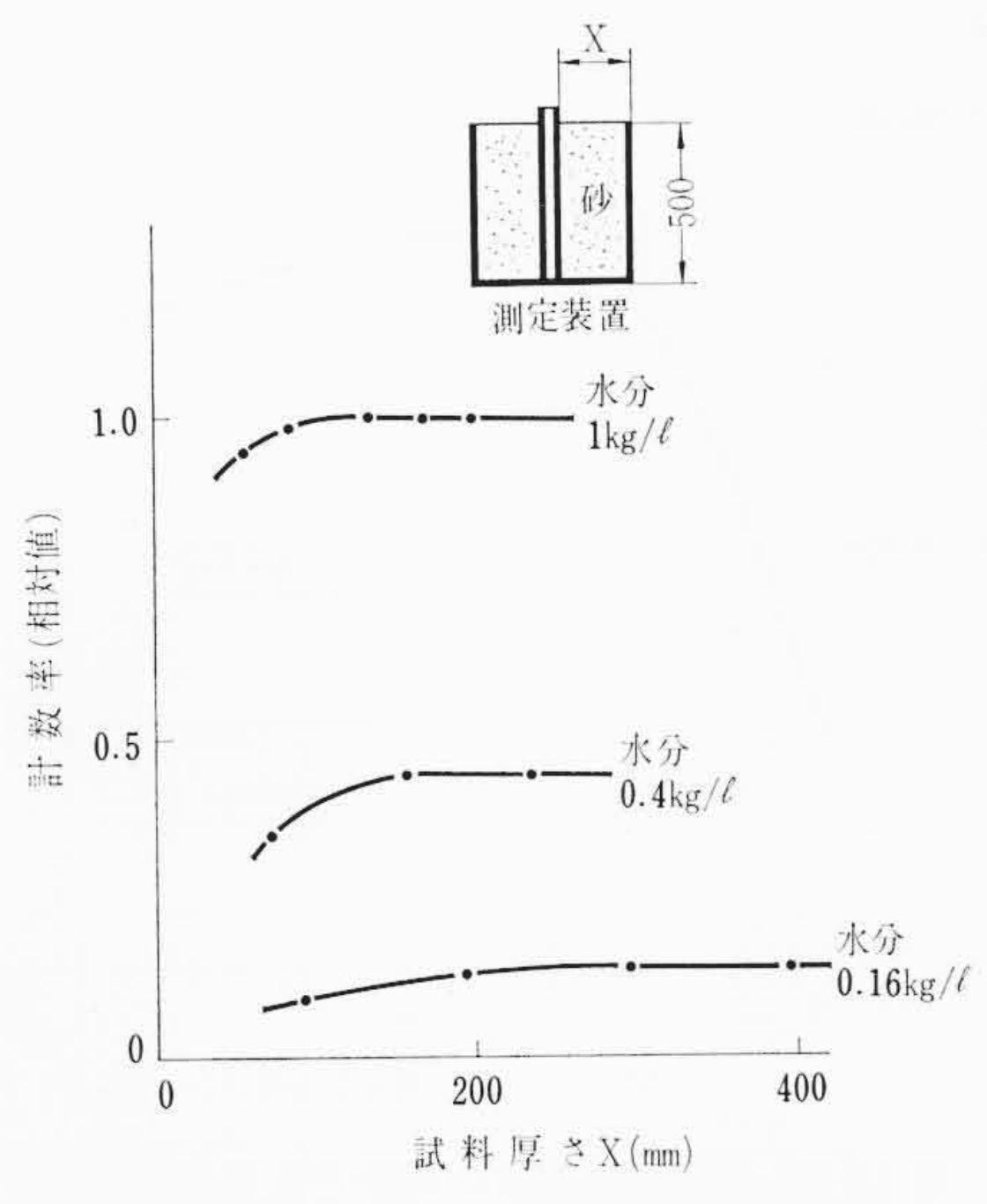
ここに、 W: 水分の重量 (%)

ω: 水分の体積 (%)

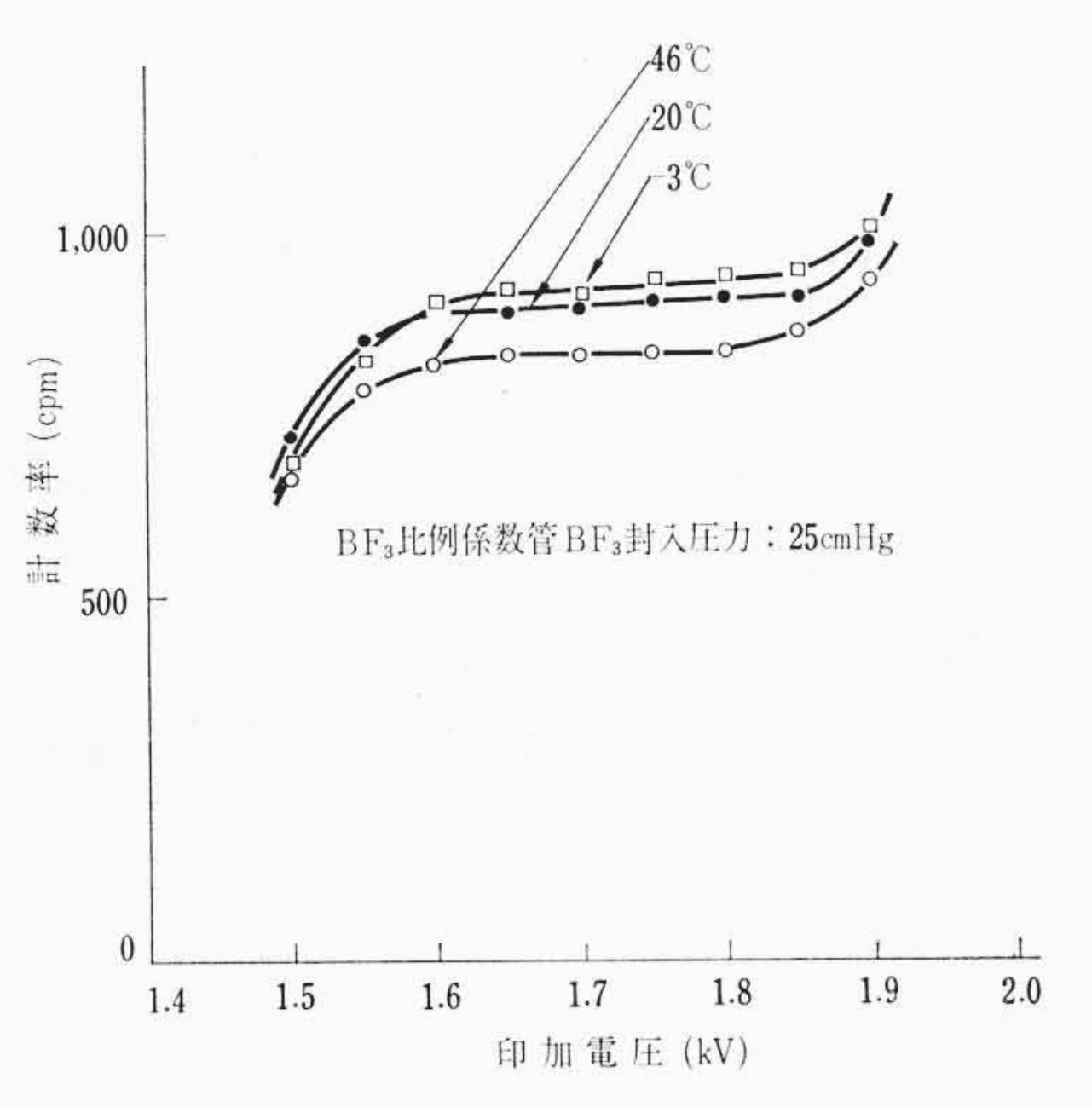
ρ: か さ 密 度 (g/cm³)

同一の試料ではかさ密度が変化しても重量%は変化しないが 体積%は変化する。したがって水分計と密度計を併用すること が望ましい。

以上のほかに試料とプローブとの間げきの影響,組成の影響, その他多くの問題があるが,これらは「中性子水分計および  $\gamma$  線 密度計の利用,技術に関する懇談会」\*で検討されているのでこの



第7図 そう入形中性子水分計の試料有効厚さ



第8図 BF<sub>3</sub> 比例計数管の温度特性

会の結論をまつことにしたい。

# 3.3.4 水分プローブの安定度

プローブが安定に動作するためには測定条件に対して二、三の 考慮が必要である。屋外使用では温度変化が大きいが、 $BF_3$  比例 計数管は温度によって、検出効率が変化するため、温度変化のあ るときはその都度、計数率の確認が必要である。計数率の確認に は一定の水素密度をもつ試料を用意し、これにより得られる計数 率が常に一定であることを利用する。第8図は $BF_3$ 比例計数管の 温度特性の一例で、同様な結果も報告されている<sup>(2)</sup>。

前置増幅器は $BF_3$ 比例計数管の出力パルスを増幅するものであるから計数率には直接影響はない。雑音に対しては電気的なものと機械的なものがあるが、機械的振動が  $100 \, \mu$  を越えると計数管から凝似パルスを発生することがある。

### 4. 密度プローブの構成とその特性

#### 4.1 γ線散乱による密度測定の原理

土壌を構成する比較的軽い元素よりなる物質に  $0.5\sim1$  MeV の  $\gamma$  線が入射した場合には、コンプトン散乱が起こる確率が光電効果電子対創性などの他の確率に比べて大きくなる。コンプトン散乱による吸収係数は次の(2)式で与えられる。

ここに, μ:線吸収係数 (cm<sup>-1</sup>)

 $N_0$ : アボガドロ数

Z: 原 子 番 号

σ: 電子1個当たりのコンプトン散乱断面積

A: 原 子 量

 $\rho$ : 密 度  $(g/cm^3)$ 

A/Zは水素以外はだいたい1/2に近く, $\sigma$ はどの物質でも一定値となる。したがって  $\mu$  は  $\rho$  に比例するからコンプトン散乱を受けた  $\gamma$  線の強度を測定すれば物質の密度を測定することができる。

実際の現象はかなり複雑で、 $\gamma$ 線源から放出された $\gamma$ 線は散乱の起こる点まで、吸収を起こしながら進み、散乱後、検出器に到達するまでにも吸収が起こる。そのため密度と計数率の関係も複雑な関数となり、密度の増加とともに計数率は増加し、やがて極大値に達する。さらに密度が増加すれば、計数率は減少するが、密度測定ではこの部分の特性を利用している。

#### 4.2 PG-3 形および PG-4 形密度プローブ

散乱形 $\gamma$ 線密度計にもそう入形と表面形の2種類があり、その構成を第9図に示す。線源と検出器とは鉛で遮へいして直接の $\gamma$ 線が検出器にはいらないようにしてある。したがって検出器にはおもに散乱された $\gamma$ 線がはいる。

 $\gamma$ 線源には  $^{137}$ Cs を使用し、検出器には、 $\gamma$ 線液面計で実績のある 20 th. Century Electronics 社製 G-5 H 形ハロゲン GM管を使用している。 第 10 図 にその特性を示す。印加電圧プラトーが平らになっているところで、できるだけ低く設定する。必要以上電圧を上げて使用すると寿命を短くする。

### 4.3 γ線密度計としての特性

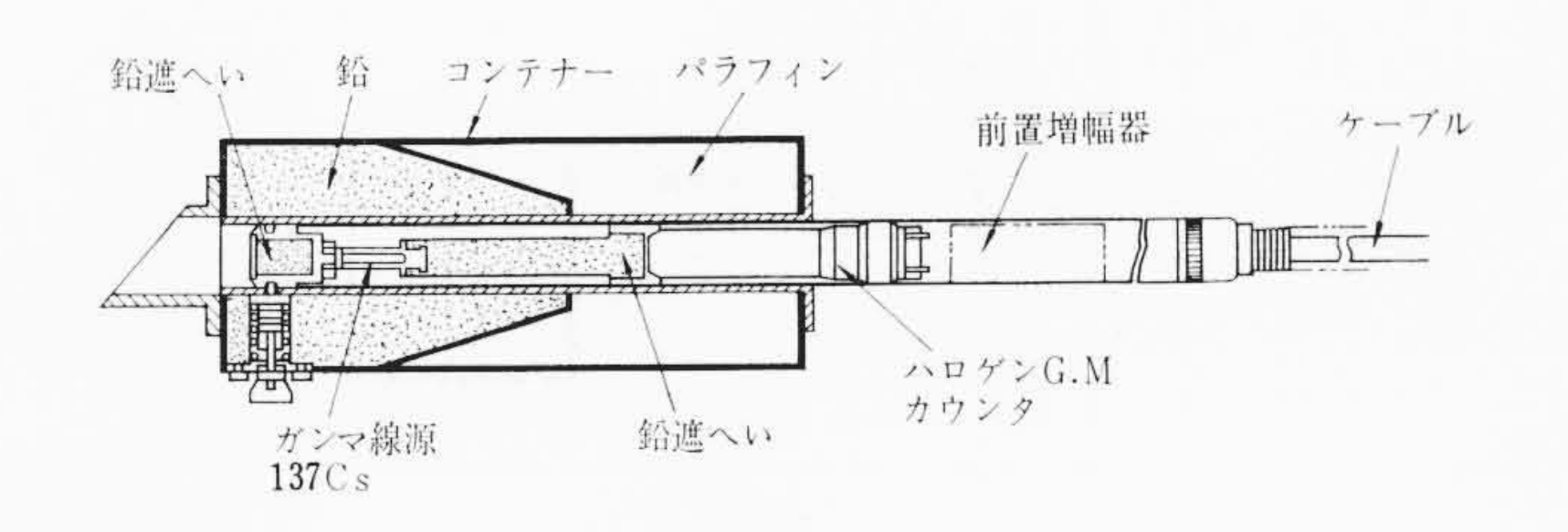
# 4.3.1 校 正 曲 線

第11図は、そう入形および表面形 γ 線密度計の校正曲線の例を示す。表面形の場合、検出器を 2 本使用しているので感度が良くなっている。校正曲線の極大値は密度 0.6 g/cm³ 付近にあり、線源と検出器との距離によって極大値の位置を変えることができる。

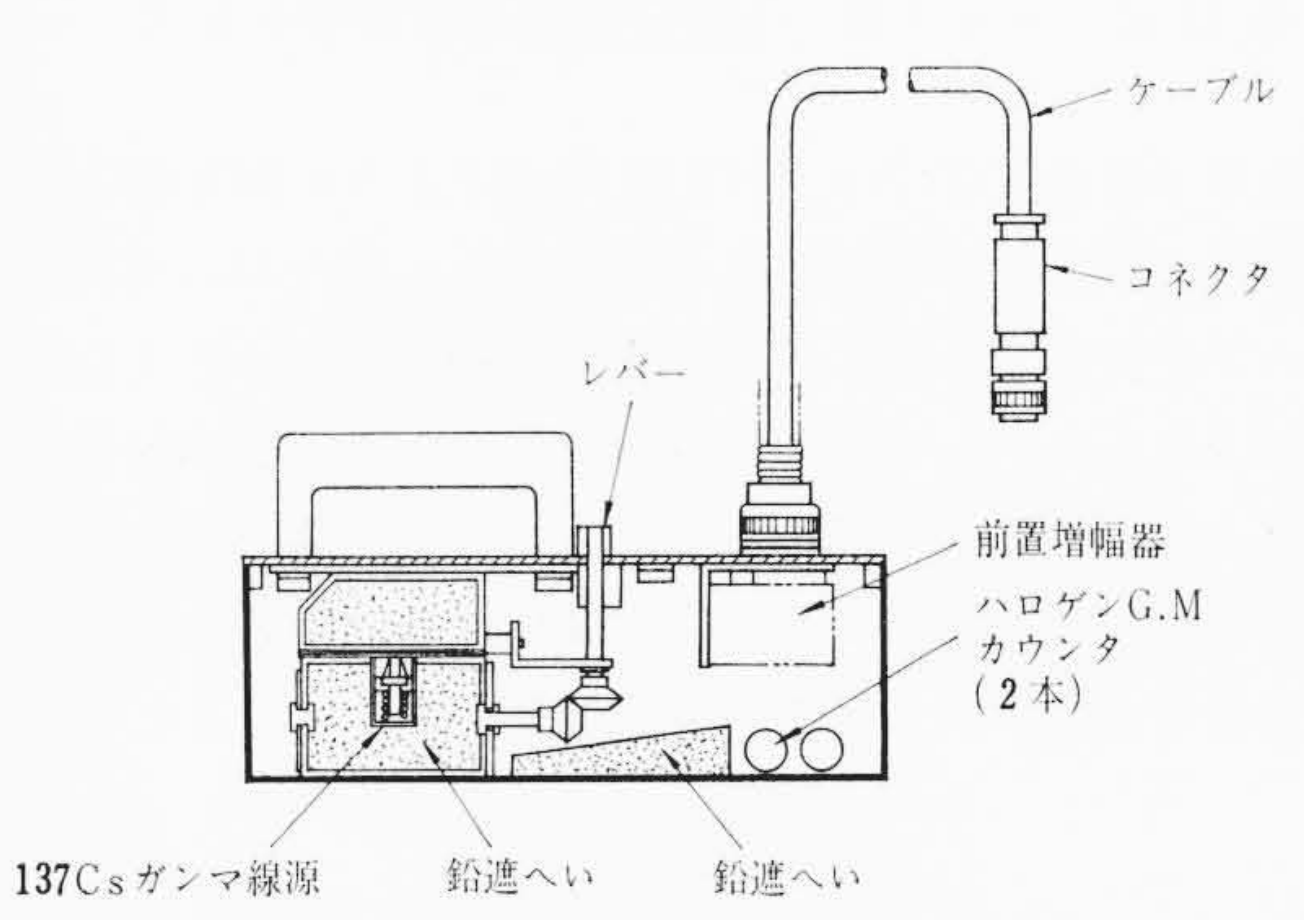
#### 4.3.2 試料有効体積

そう入形プローブによる試料の大きさと計数率の関係を**第12** 図に示す。飽和する試料厚さは約200mm近くになる。そのほ

#### A. そう入形密度プローブ



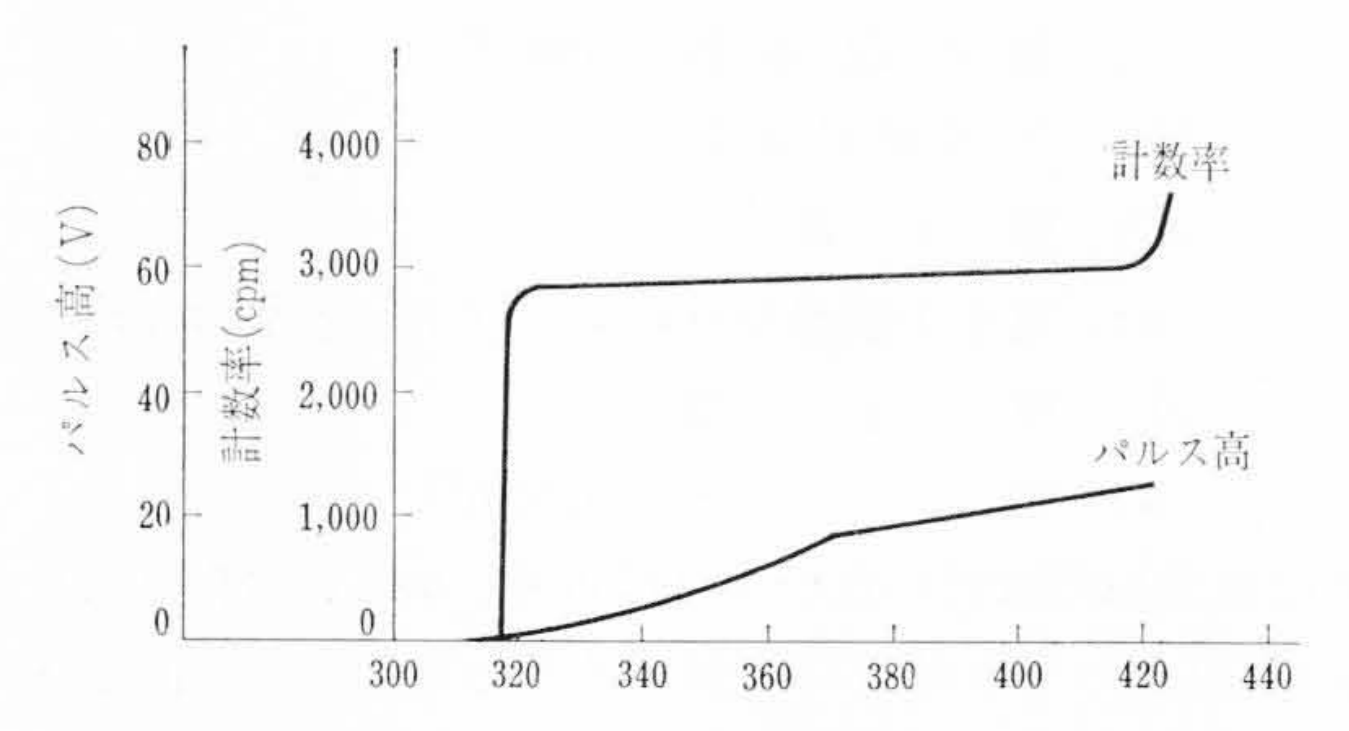
B. 表面形密度プローブ



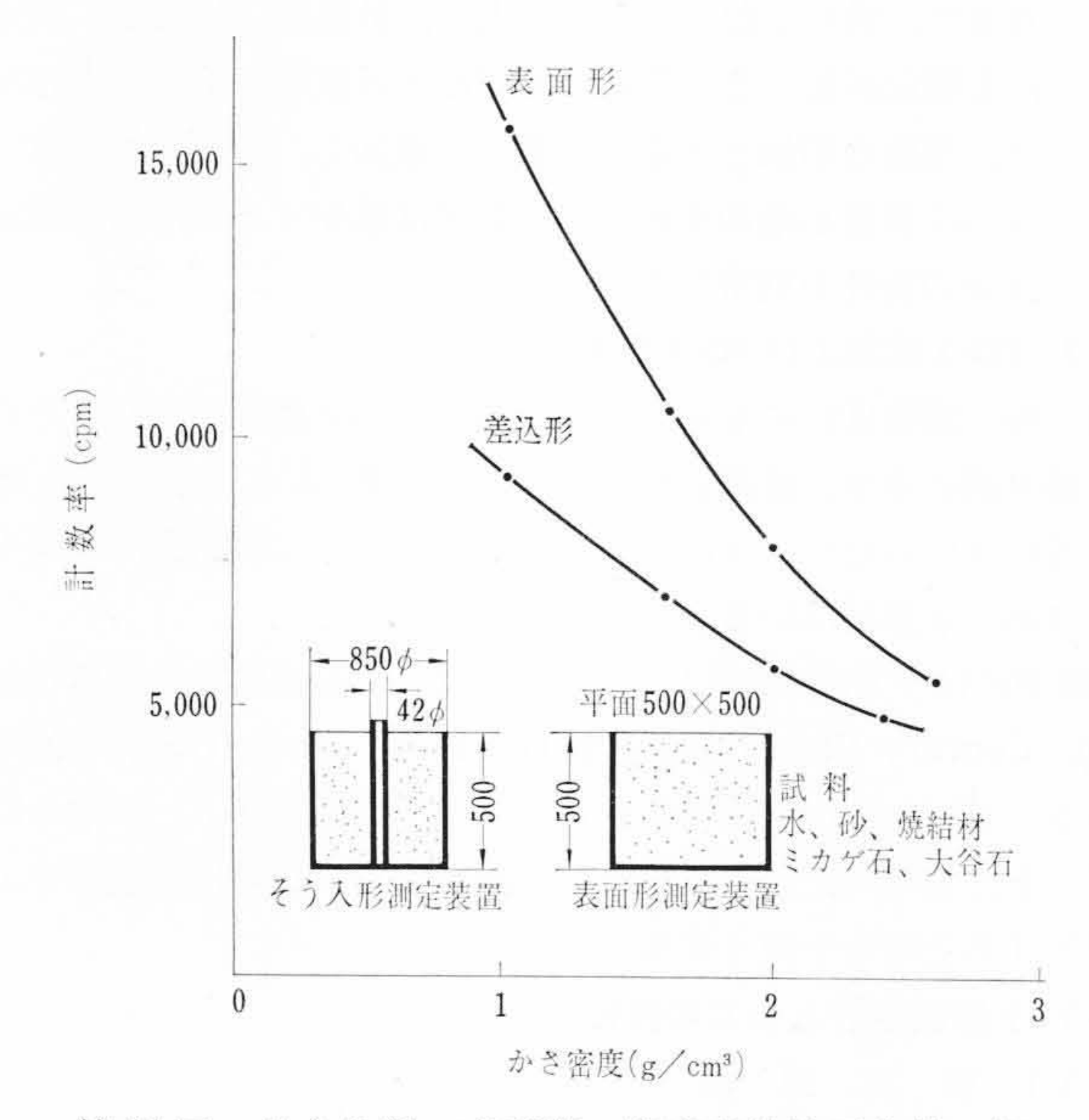
第9図 密度プローブの構造

<sup>\*</sup> 研究所, ユーザ, メーカの集りで, 第1回会合は昭39-4-29 東京で開かれた。

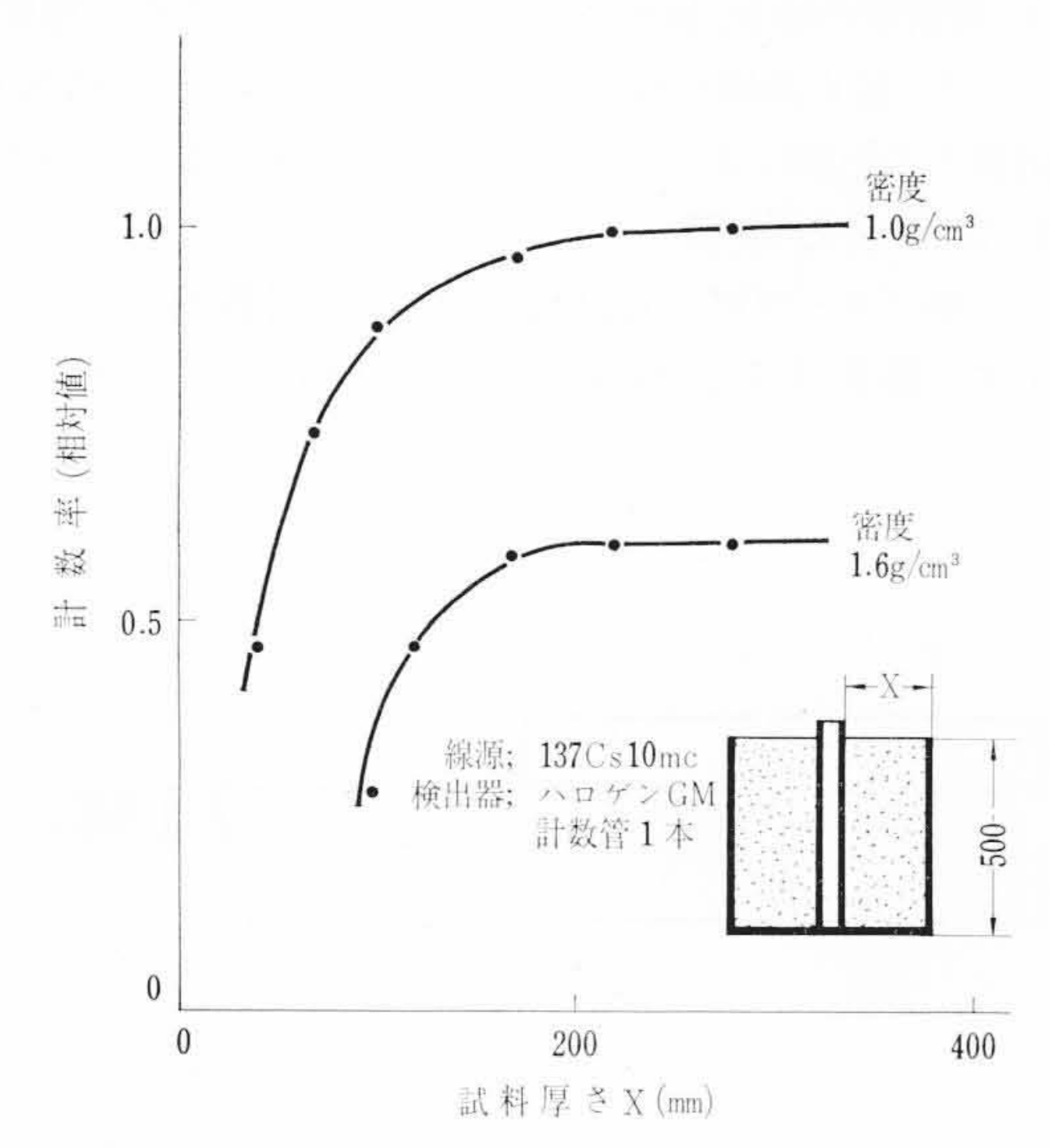
日



第 10 図 ハロゲン G. M計数管のプラトー特性 およびパルス高



第11図 そう入形,表面形γ線密度計校正曲線の例

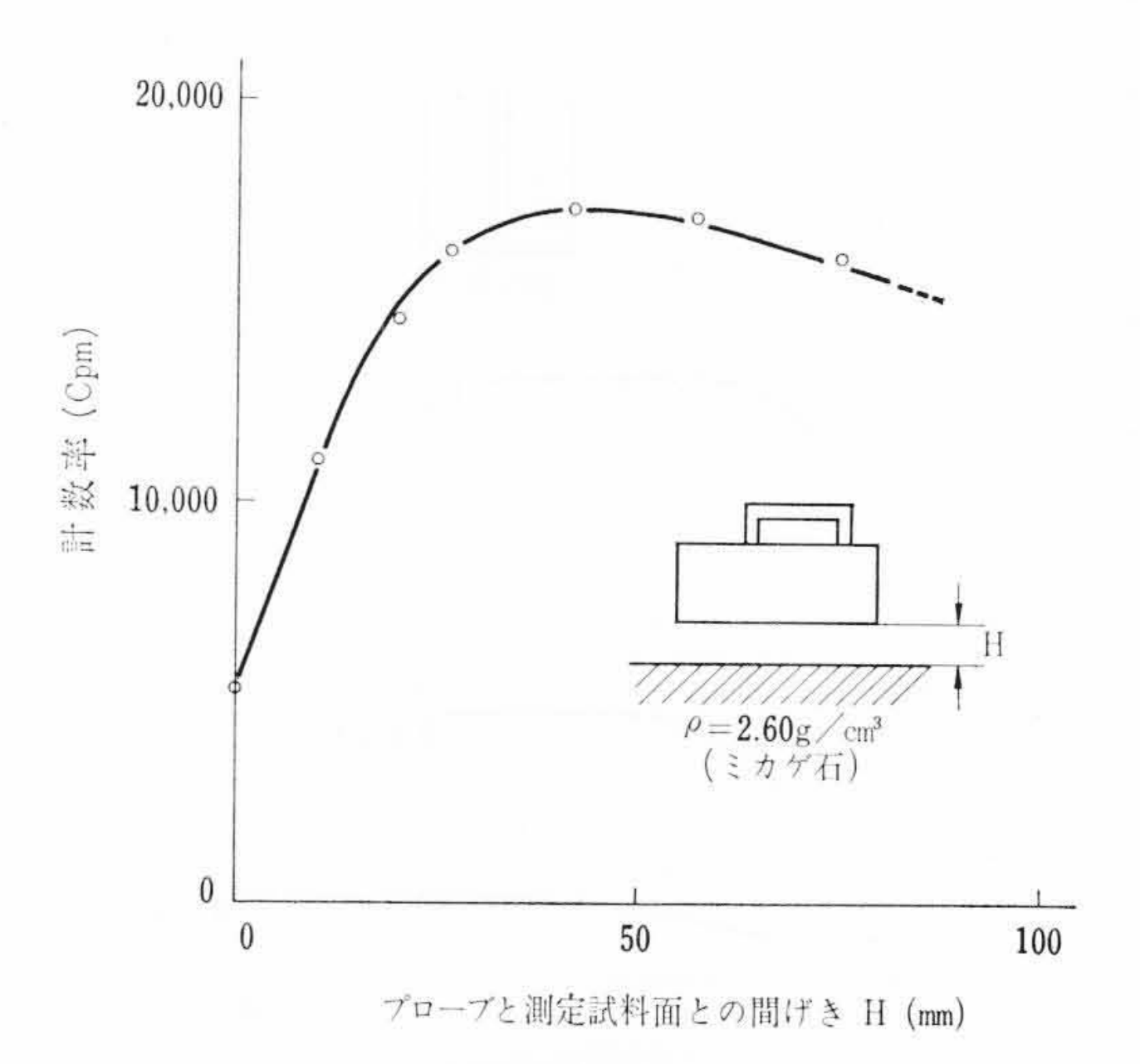


第12図 そう入形, γ線密度計の試料有効厚さ

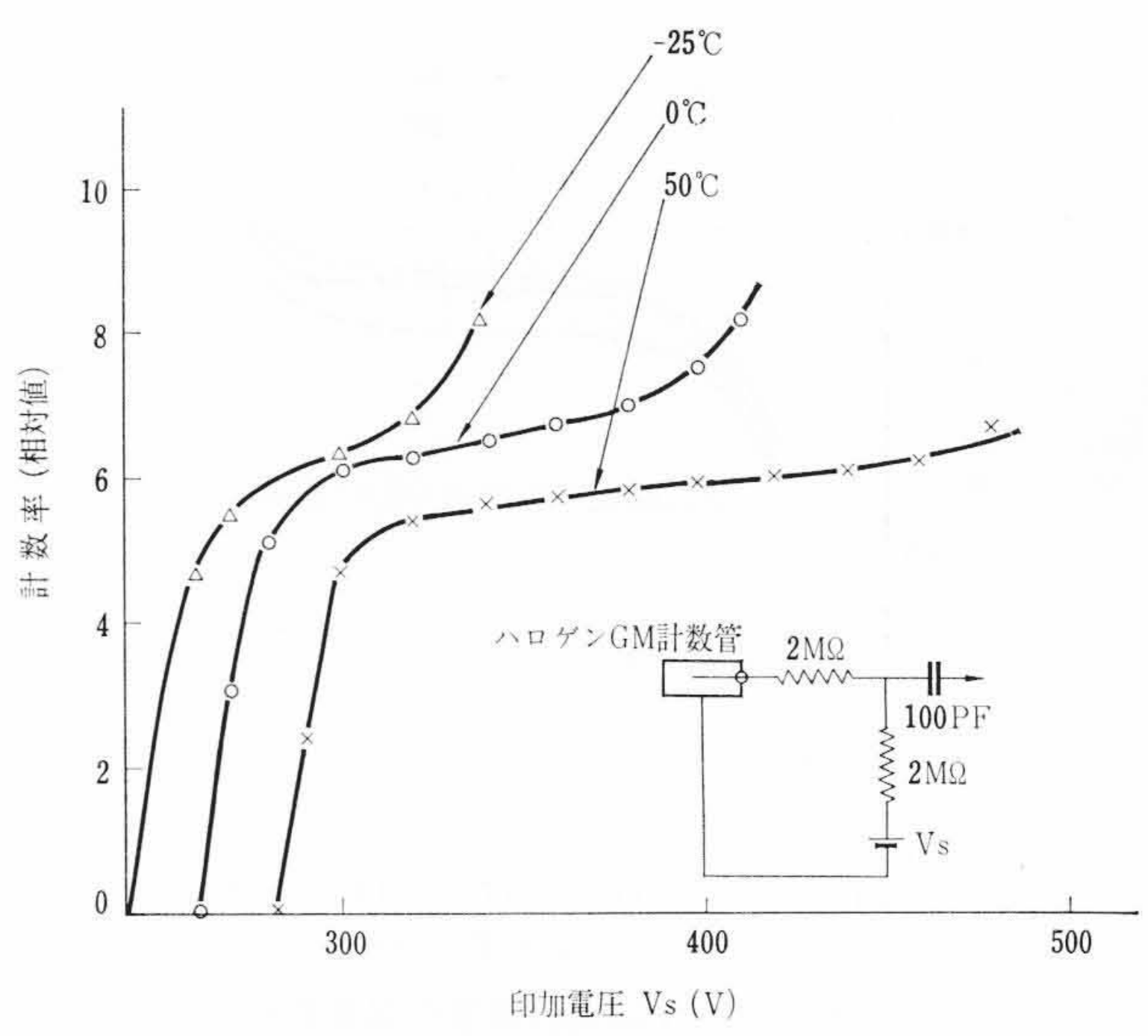
か、散乱形  $\gamma$  線密度計では **第13** 図 に示すように測定物と線源との距離Hにより散乱線の計数率が変化する。したがって表面形密度プローブを使用する際には、極力この間げきが小さくなるよう設置せねばならない。ハロゲン G M 計数管も B F<sub>3</sub> 比例計数管と同様温度により計数効率が低下する。その一例を **第14** 図 に示す。またこの特性は回路定数によっても変化する。そのほかの測定条件に対しても水分プローブと同様な問題がある。

# 5. SD-2 形スケーラ

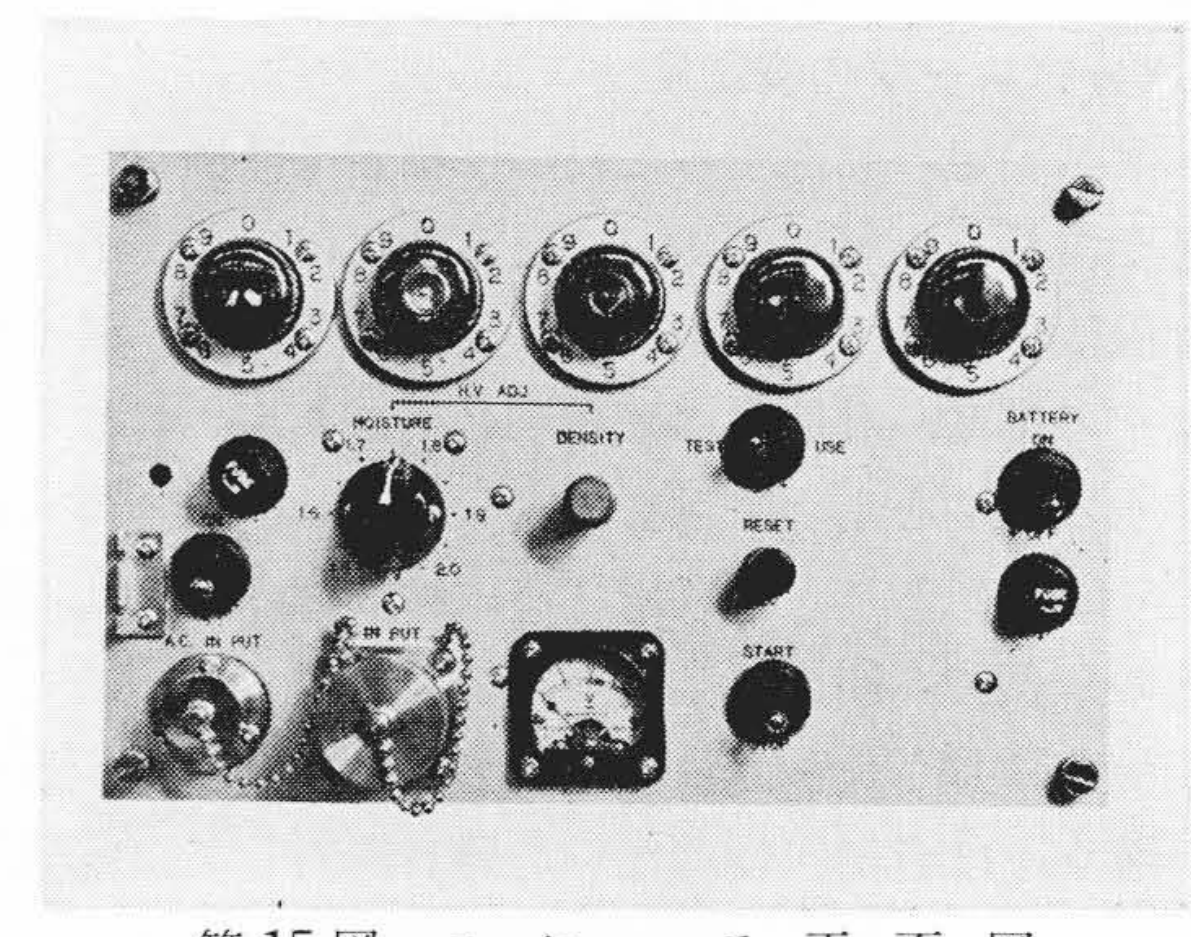
水分プローブおよび密度プローブからの出力パルスを計数表示す



第13図 測定物線源の距離と計数率の関係

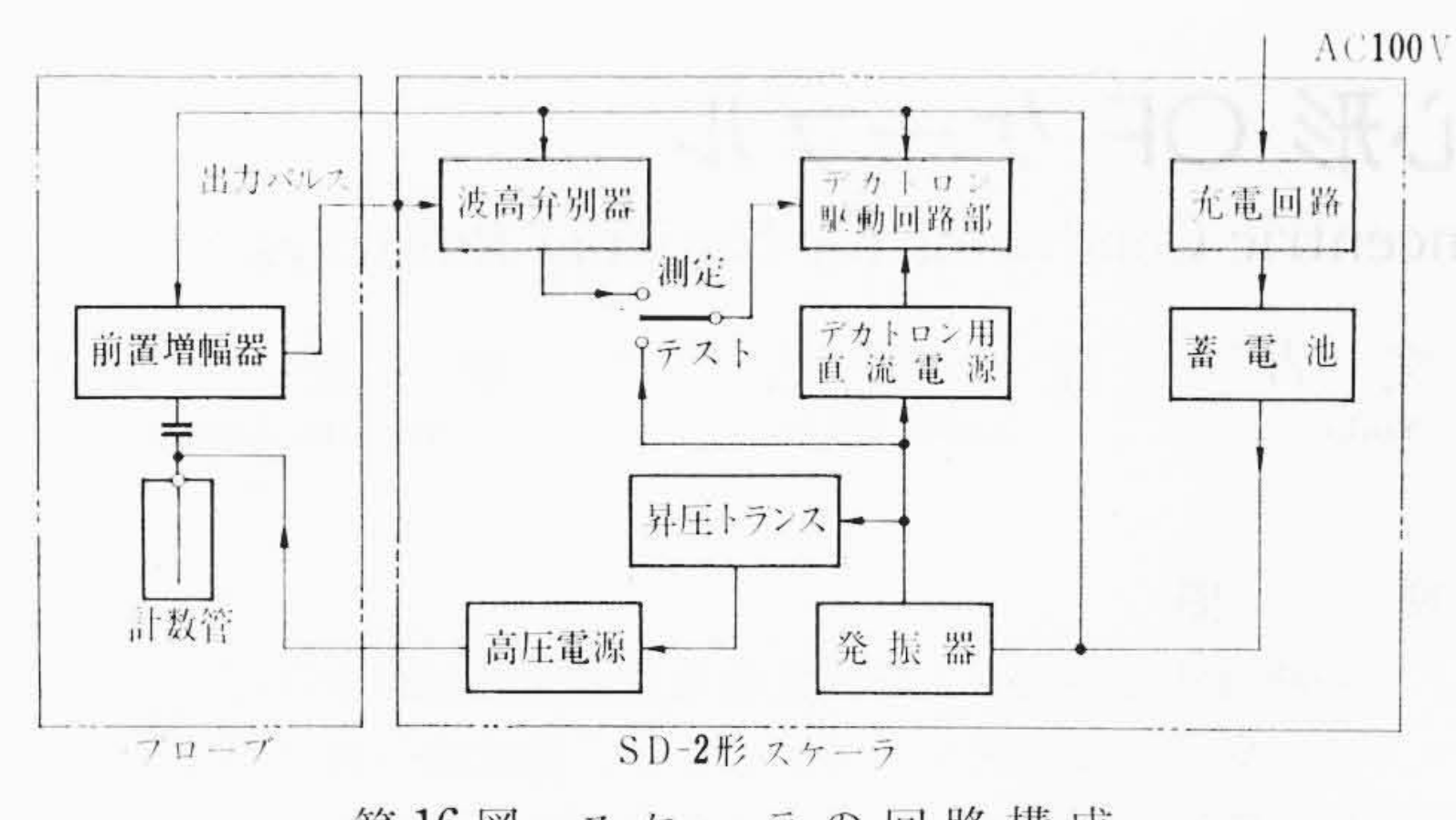


第14図 ハロゲン G. M計数管の温度特性



第15図 スケーラ正面図

るためにスケーラを必要とする。前記した4種類のプローブと組み合わせて使用するものとして SD-2 形スケーラがある。第15 図に SD-2 形スケーラの正面図を,第16 図にプローブとスケーラの回路構成を示す。本器はコネクタによりプローブと接続され,BF3 比例計数管およびハロゲン GM計数管印加電圧用高圧電源,前置増幅器電源をプローブに供給し,前置増幅器の出力パルスを受ける。高電圧は一定周波数の発信器より変圧器で昇圧し整流することにより得られる。またこの一定周波数のパルスをデカトロン駆動回路に入れて、デカトロン駆動回路の動作をチェックすることができる。本スケーラは屋外使用を目的としているため防滴形となっており、またニ



第16図 スケーラの回路構成

ッケルカドミュームアルカリ電池および充電回路を内蔵している。

# 6. 結

現在,製品化されているポータブル方式中性子水分計および 7線 密度計について述べた。これらは性能的には十分土木工事の施工管 理に使用できるものと考えられるので、今後は実際の取り扱い面で の経験を積み重ねていっそう取り扱いやすい製品になるよう改良を 加えてゆきたい。終わりにのぞみ本計器の開発製品化に当たって種 々ご指導くださった日立製作所中央研究所および那珂工場関係各位 に深く感謝する。

#### 献 考 文

- (1) Price: Radiation Shielding, Pergamon Press (1957)
- 宮下, 石井: 三菱電機技報 37, 12 (1963)
- 石松,中根: 応用物理 32,6 (1963)
- 石松: 計測 11, 451 (1961)



特許 第414644号(特公昭38-10637)

敦・竹 本 金子洋一

# ス

従来のクライストロンの出力結合部は, 第1図に示すように出力 空胴の窓から管軸に垂直な方向に直接取り出す機構のため, 出力空 胴に十分な磁界強度を与えることができず, また製造に困難を伴っ た。本発明はこれらの欠点を改善するため第2図にその要部を示す ごとく, 出力空胴と出力取り出し用導波管との間にドリフト管から コレクタに向うビーム通路を成す筒体と,これを囲む導体で作った

> 導波管 出力空胴 第1図

取りはずし自在な中空体で構成し,空胴および導波管と高周波気密 結合素子および高周波結合素子によって出力結合回路を構成してあ る。

このような機構では上述の欠点を除くとともに, 結合素子が電界 強度が最小の位置にあり高周波電圧による波損がなく, 結合回路が 取りはずし自在であるため調節が可能, 出力空胴の側面および筒体 の材質により磁場の調整もできるなど多くの点で有効である。

(岸原)

